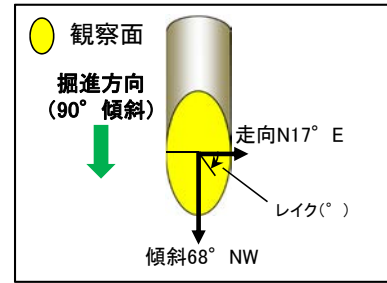


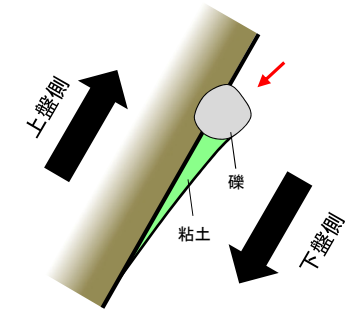
条線観察結果 ボーリングH- -2.18孔[深度185.01m](上盤側)



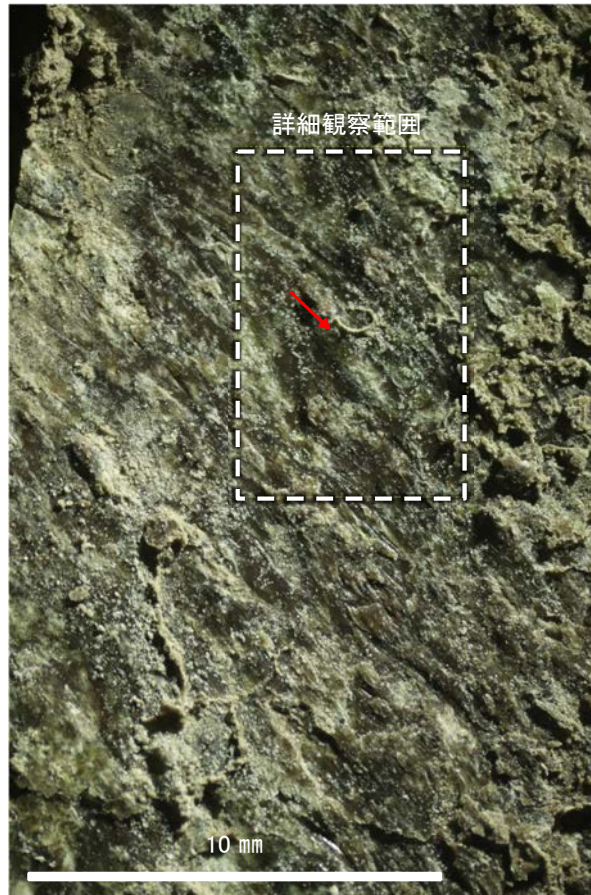
概念図

※走向は真北で示す。

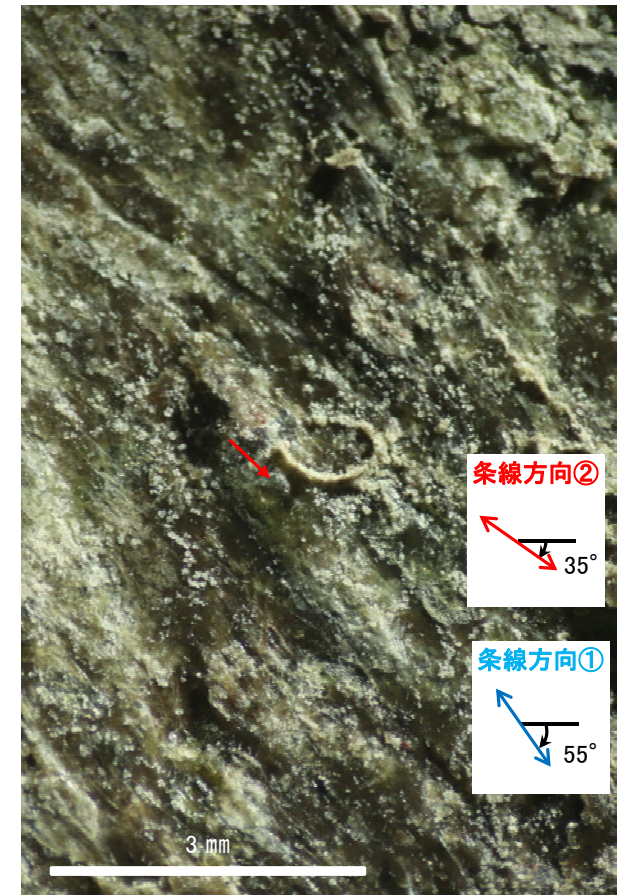
条線方向及び礫周りの粘土の非対称構造から、逆断層センスを示す。



観察面写真



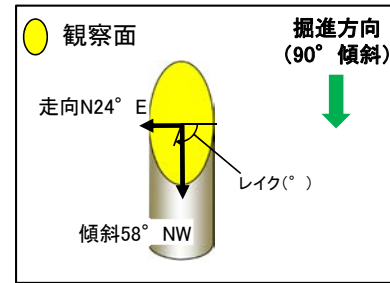
観察面拡大写真



詳細観察写真

- ・条線①のレイクは125° R (下盤側換算), 変位センスは左横ずれ逆断層
- ・条線②のレイクは145° R (下盤側換算), 変位センスは左横ずれ逆断層

条線観察結果 ボーリングH- -1.3孔[深度132.56m](下盤側)

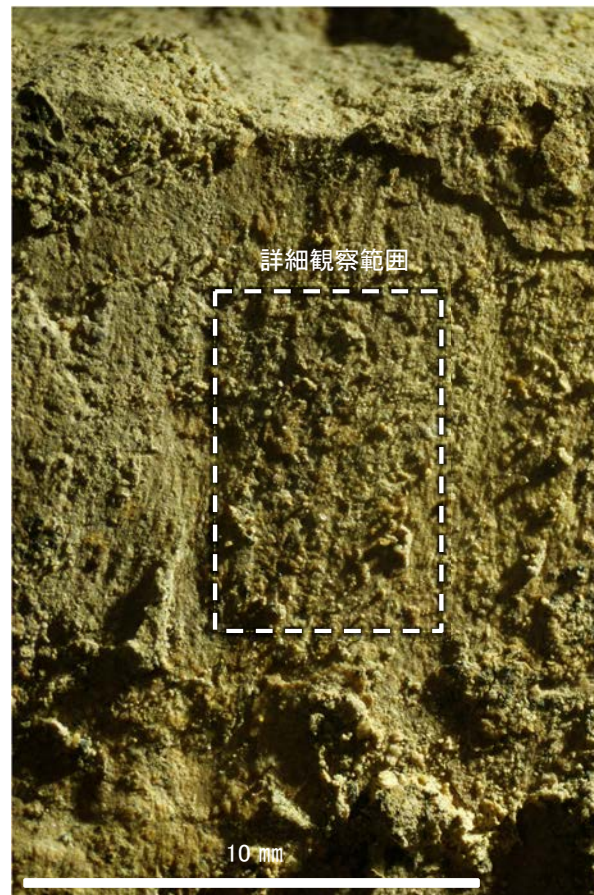


概念図

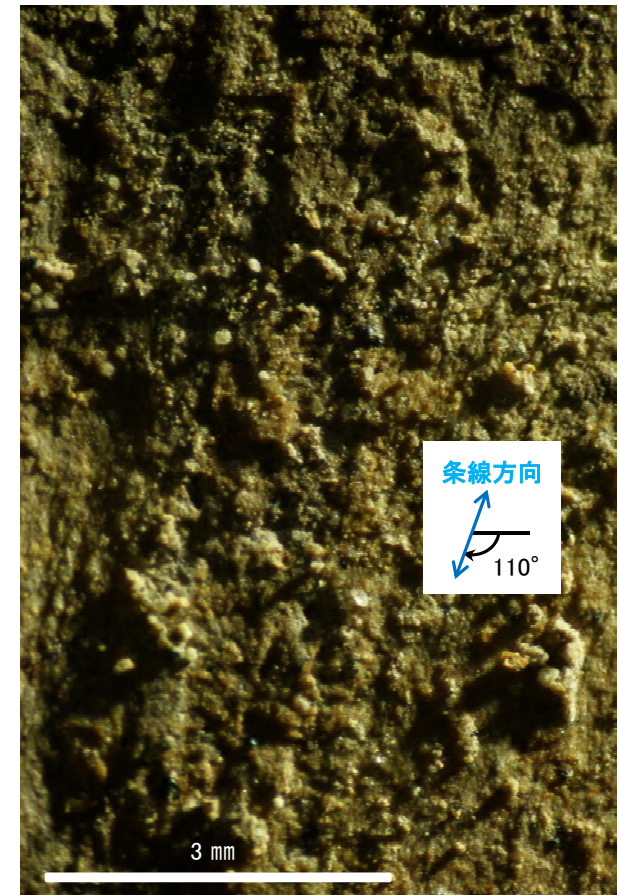
※走向は真北で示す。



観察面写真



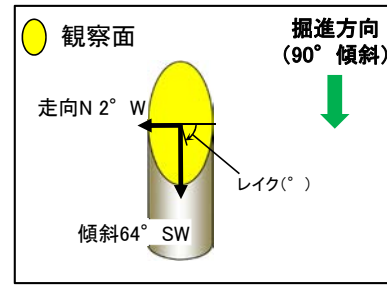
観察面拡大写真



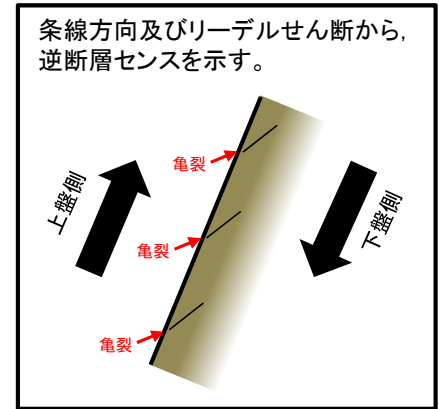
詳細観察写真

・条線のレイクは110° R, 変位センスは不明

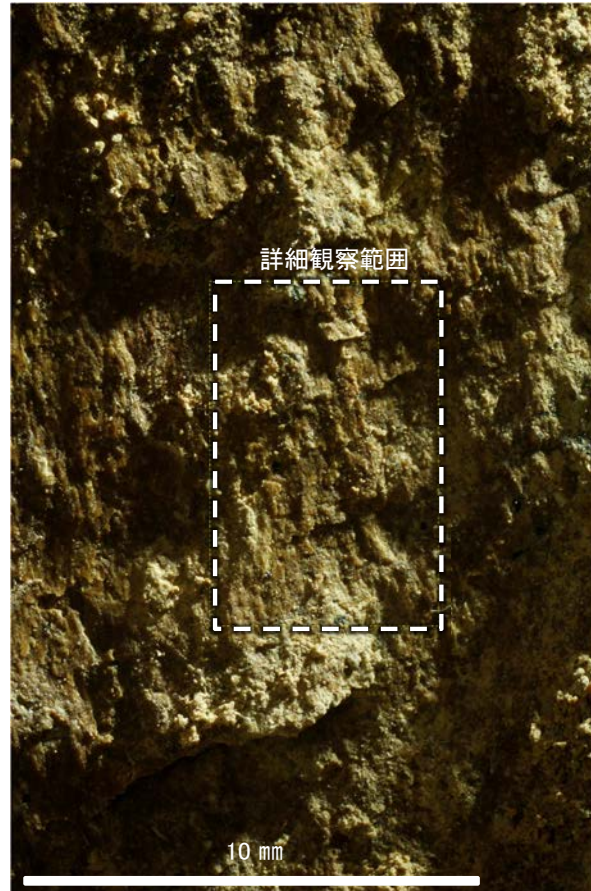
条線観察結果 ボーリングH- -1.2孔[深度118.76m](下盤側)



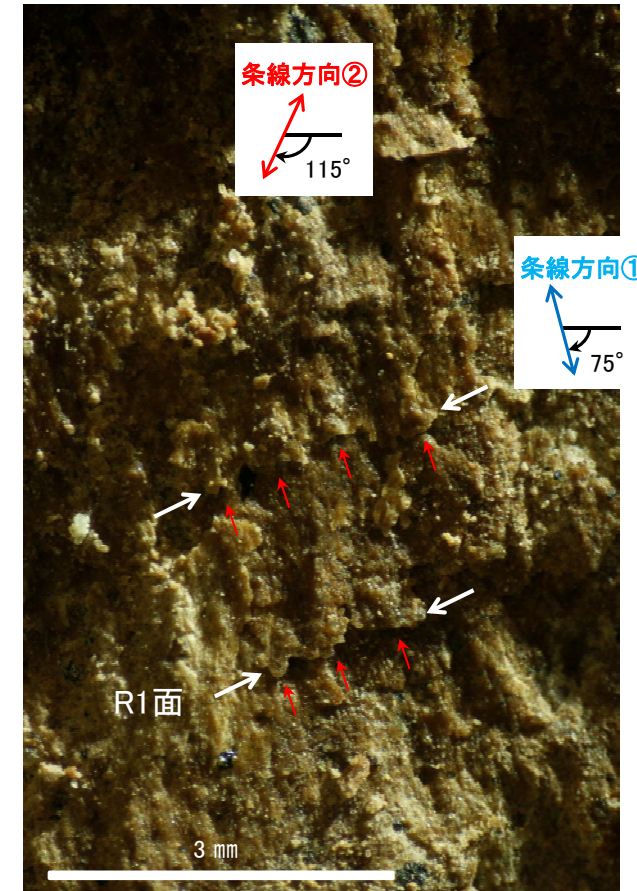
概念図
※走向は真北で示す。



観察面写真



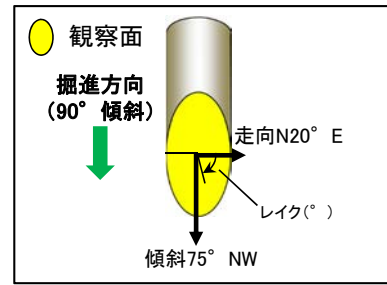
観察面拡大写真



詳細観察写真

- ・条線①のレイクは75° R, 変位センスは右横ずれ逆断層
- ・条線②のレイクは115° R, 変位センスは不明

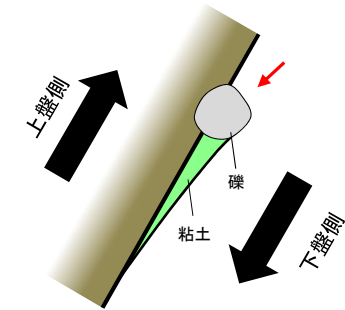
条線観察結果 ボーリングH- -1.0孔[深度90.03m](上盤側)



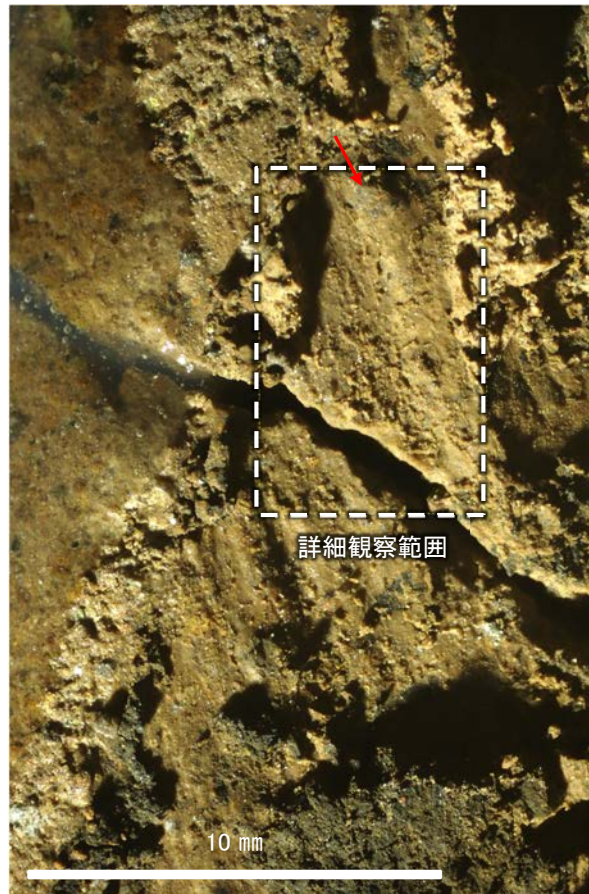
概念図

※走向は真北で示す。

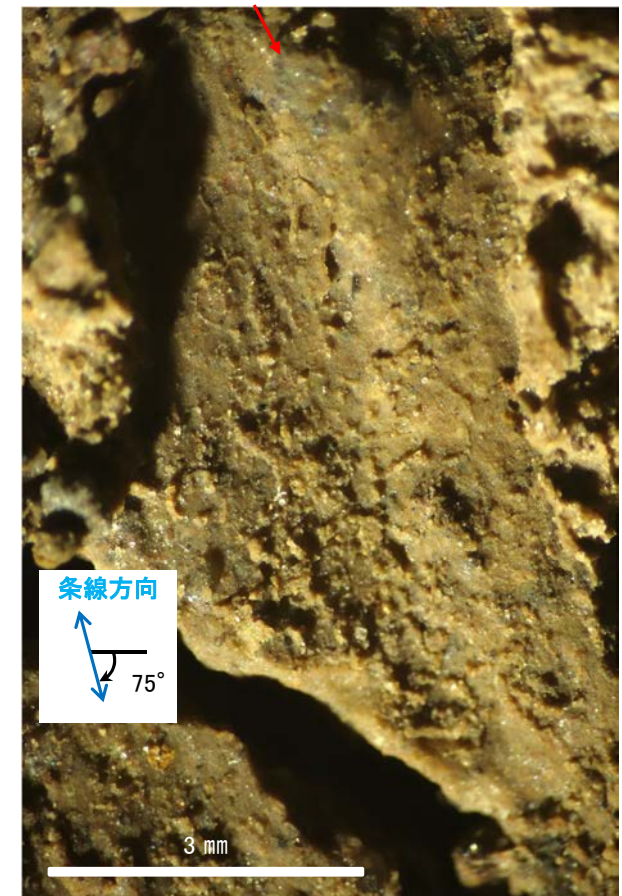
条線方向及び礫周りの粘土の非対称構造から、逆断層センスを示す。



観察面写真



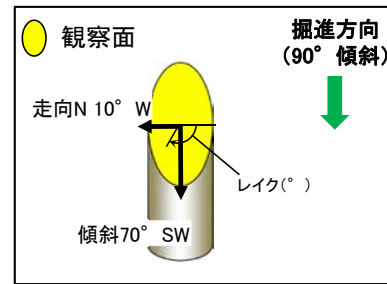
観察面拡大写真



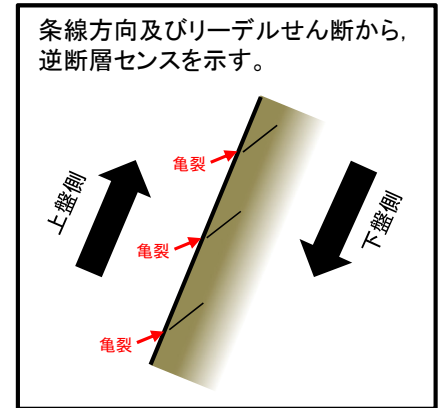
詳細観察写真

・条線のレイクは 105° R (下盤側換算), 変位センスは左横ずれ逆断層

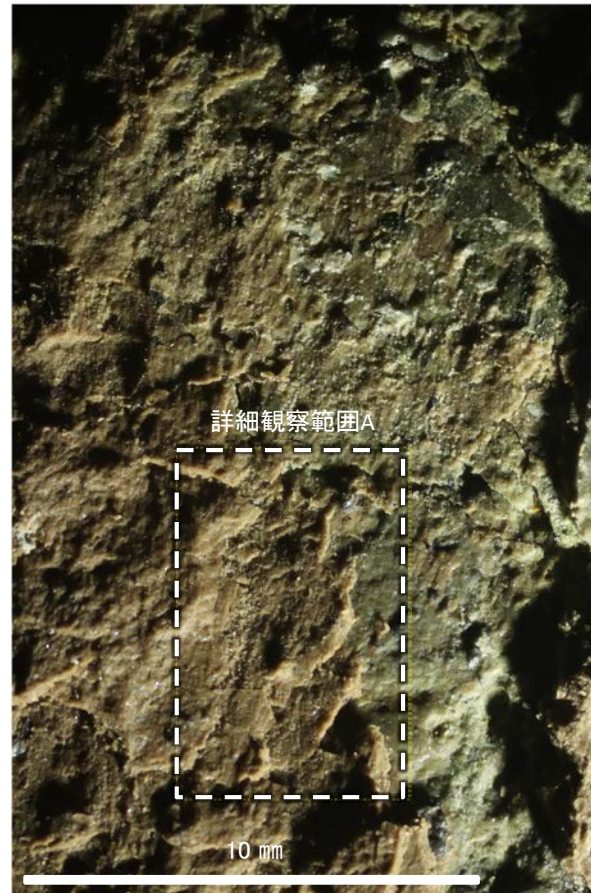
条線観察結果 ボーリングH- -0.5孔[深度50.21m](下盤側)①



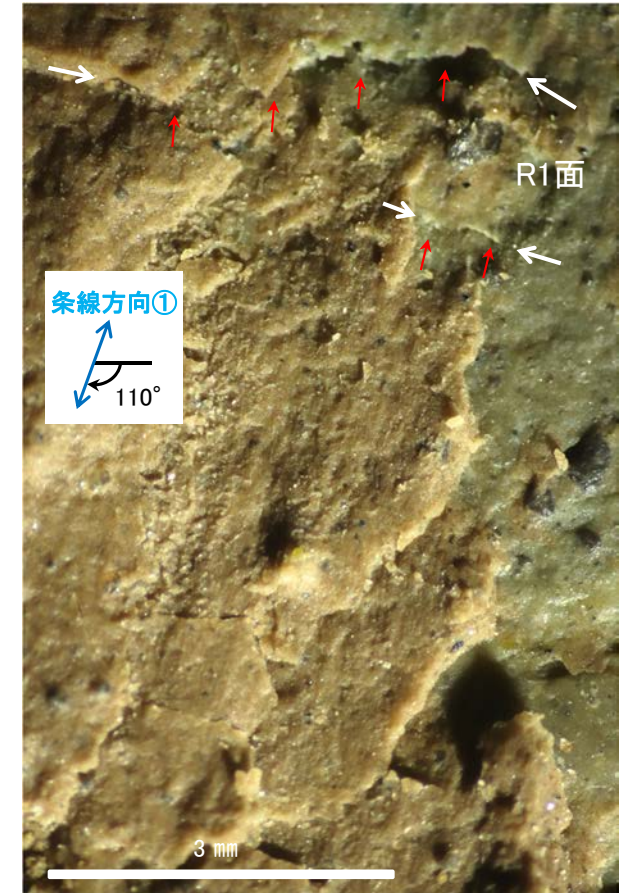
概念図
※走向は真北で示す。



観察面写真



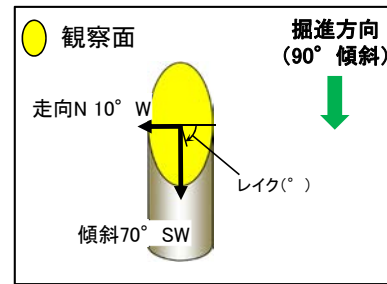
観察面拡大写真A



詳細観察写真A

・条線①のレイクは110° R, 変位センスは左横ずれ逆断層

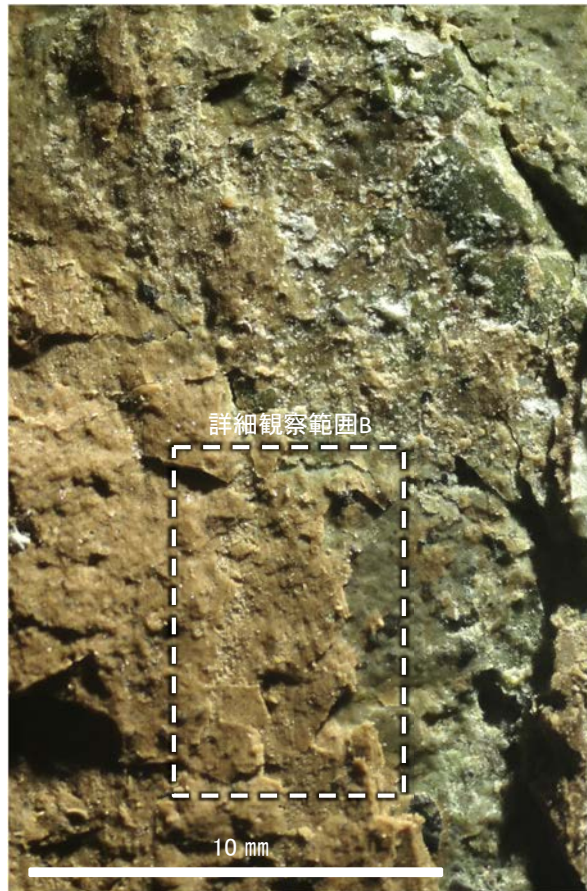
条線観察結果 ボーリングH- -0.5孔[深度50.21m](下盤側)②



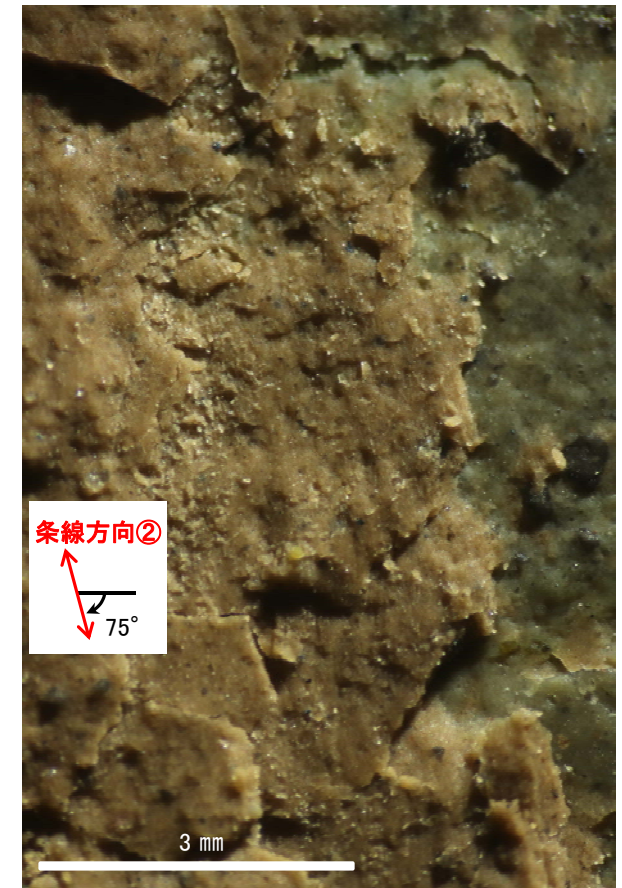
概念図
※走向は真北で示す。



観察面写真



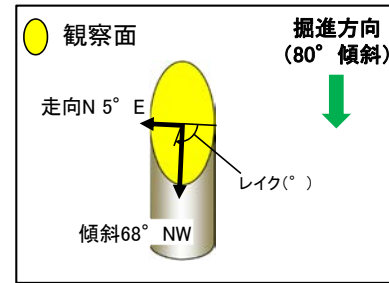
観察面拡大写真B



詳細観察写真B

・条線②のレイクは75° R, 変位センスは不明

条線観察結果 ボーリングH- -0.3-80孔[深度31.57m](下盤側)

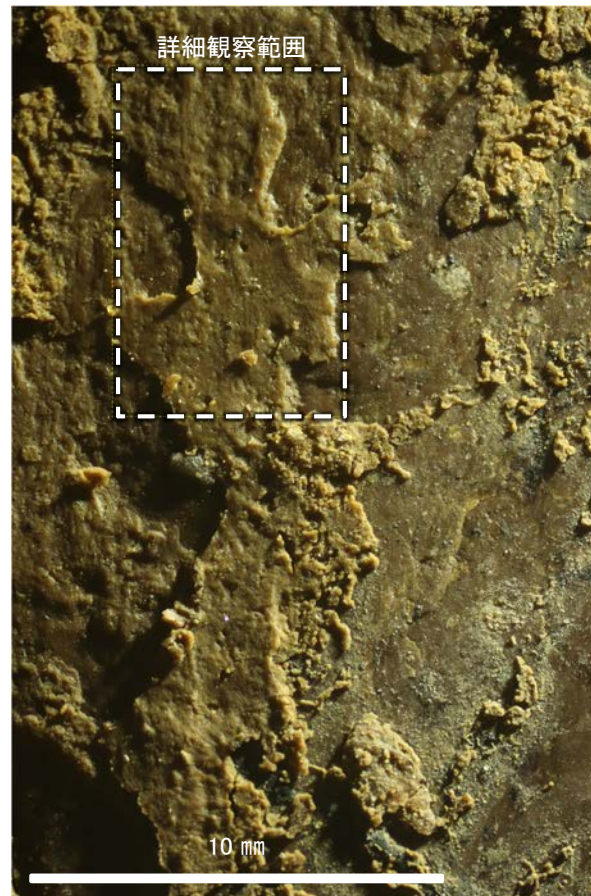


概念図

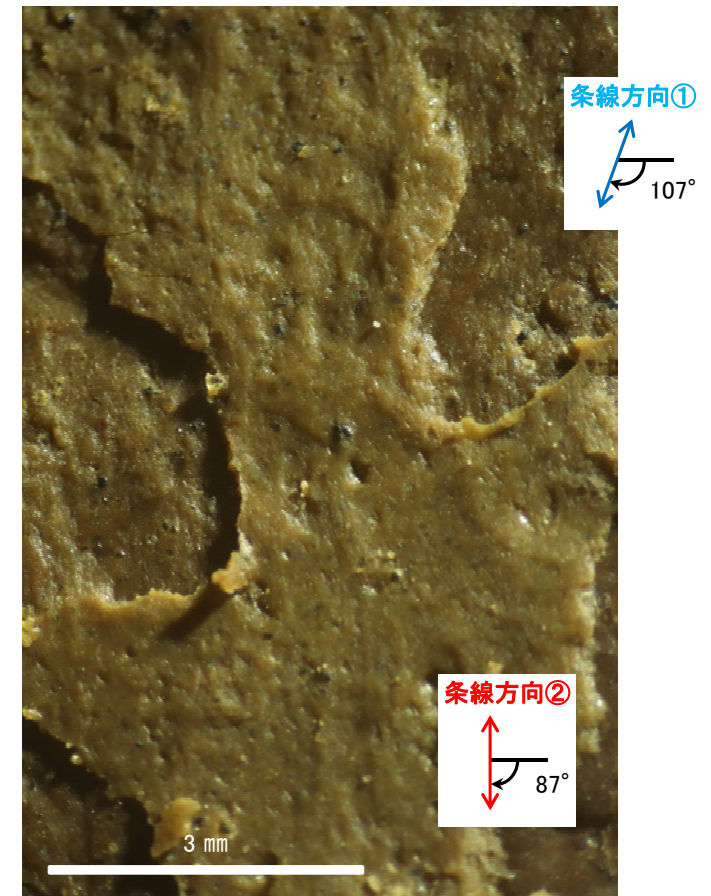
※走向は真北で示す。



観察面写真



観察面拡大写真



詳細観察写真

- ・条線①のレイクは107° R, 変位センスは不明
- ・条線②のレイクは87° R, 変位センスは不明

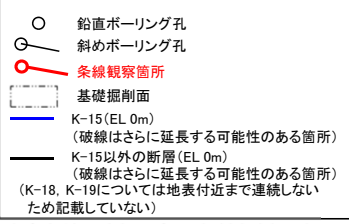
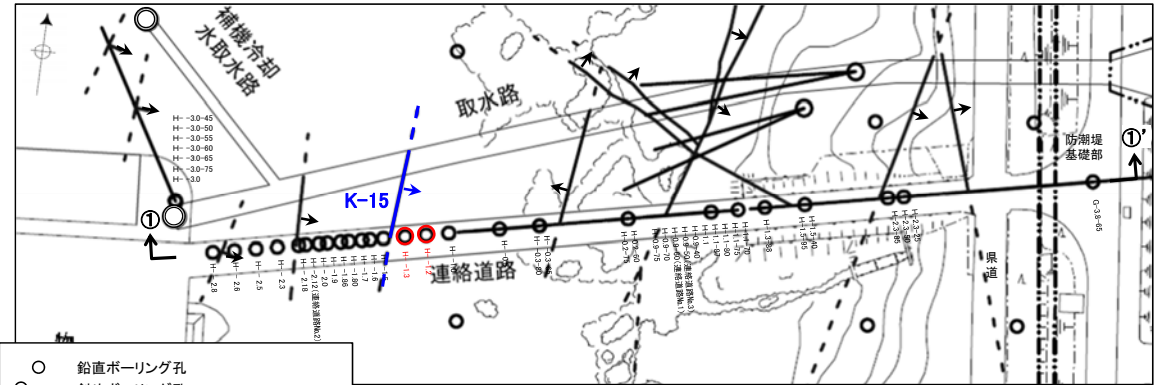
(2)-17 K-15の条線観察結果

K-15の条線観察結果

試料名		走向/傾斜 (走向は真北)	条線の レイク※1, 2	変位センス
ボーリングH-1.3孔 [深度13.13m]	下盤側	NS/70° E	90° R	(不明)
			105° R	(不明)
ボーリングH-1.2孔 [深度27.05m]	下盤側	N15° E/69° SE	70° R	(不明)
			85° R	(不明)

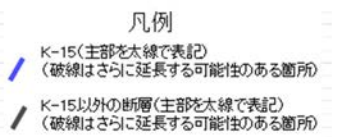
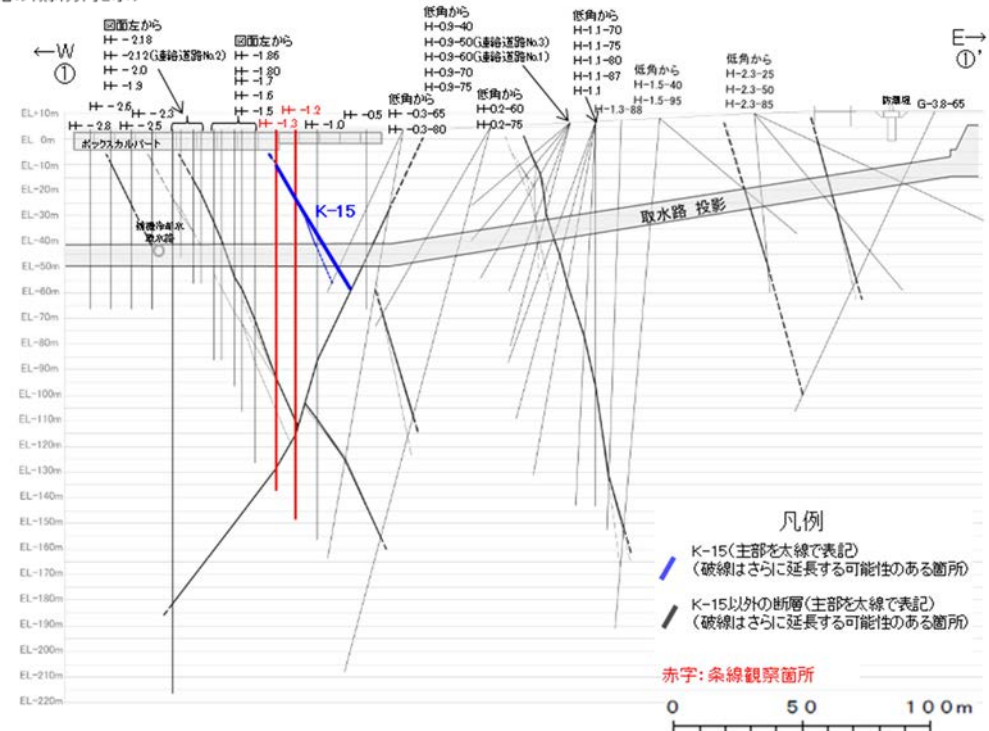
※1 上盤側で確認したレイクは下盤側に換算して示す。

※2 新旧対比ができる条線は最新のレイクのみ示す。



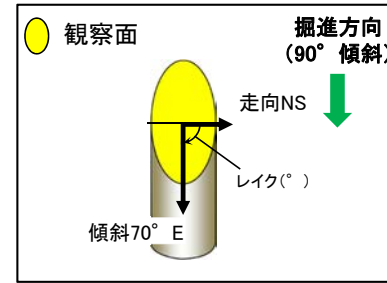
位置図

矢印(↑)の向きは断層の傾斜方向を示す



①-①' 断面図

条線観察結果 ボーリングH- -1.3孔[深度13.13m](下盤側)

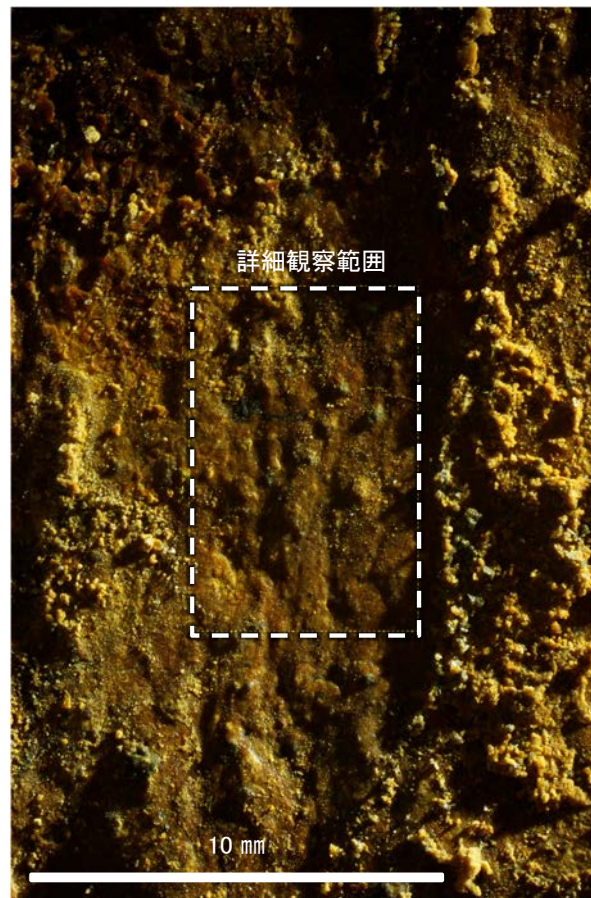


概念図

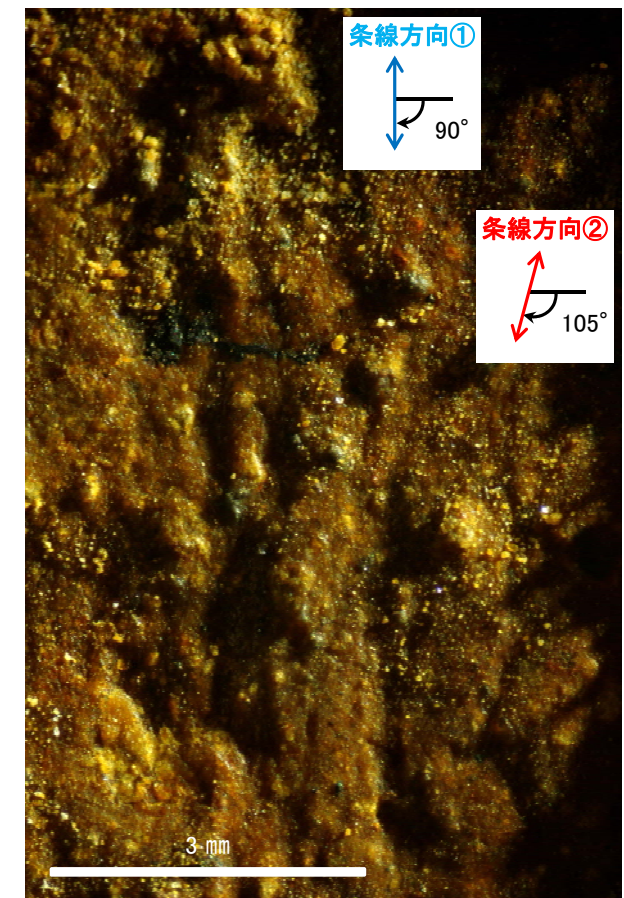
※走向は真北で示す。



観察面写真



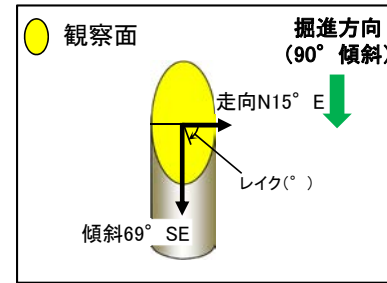
観察面拡大写真



詳細観察写真

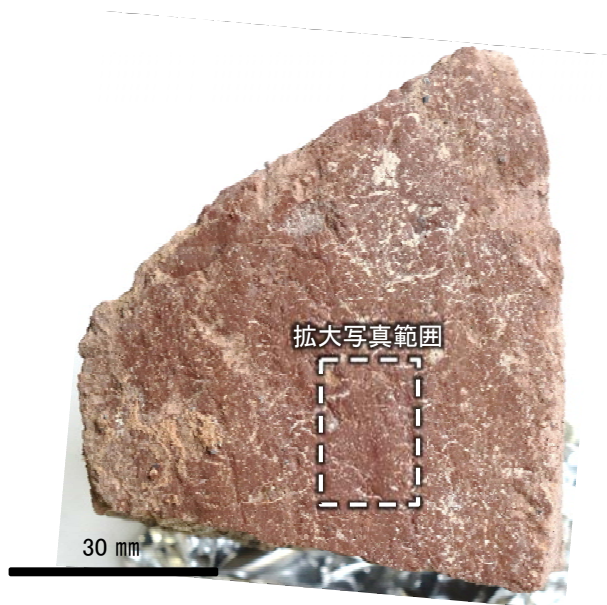
- ・条線①のレイクは90° R, 変位センスは不明
- ・条線②のレイクは105° R, 変位センスは不明

条線観察結果 ボーリングH- -1.2孔[深度27.05m](下盤側)

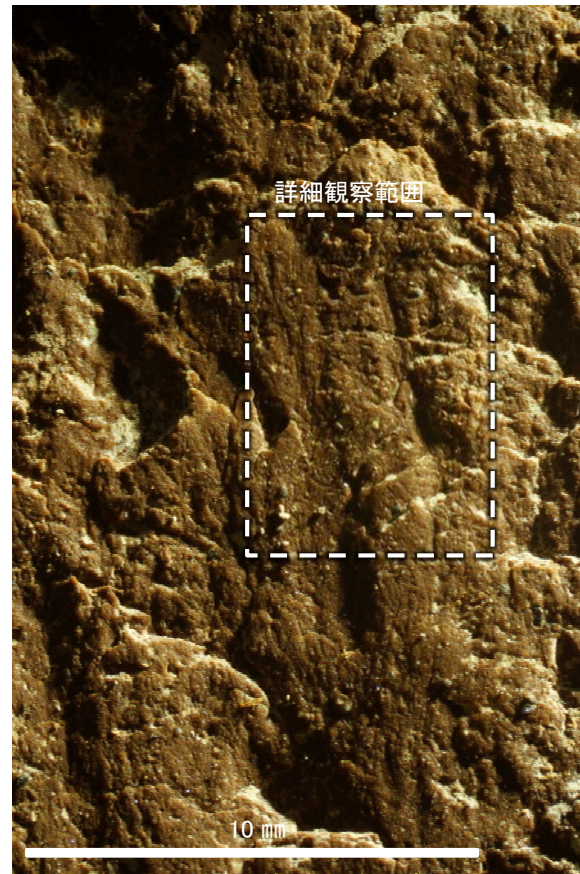


概念図

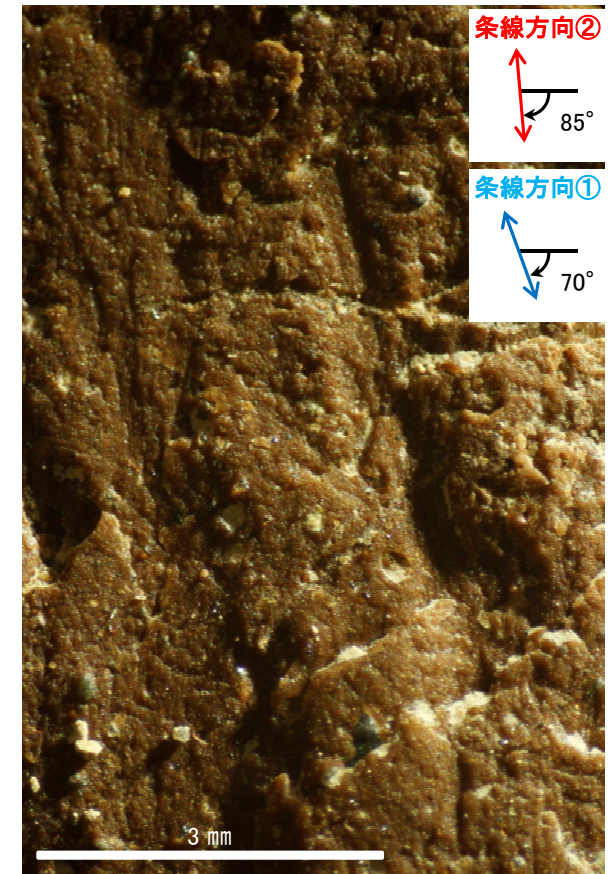
※走向は真北で示す。



観察面写真



観察面拡大写真



詳細観察写真

- ・条線①のレイクは70° R, 変位センスは不明
- ・条線②のレイクは85° R, 変位センスは不明

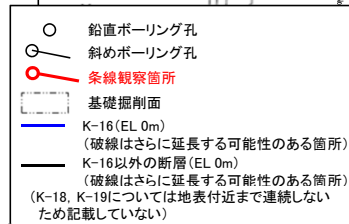
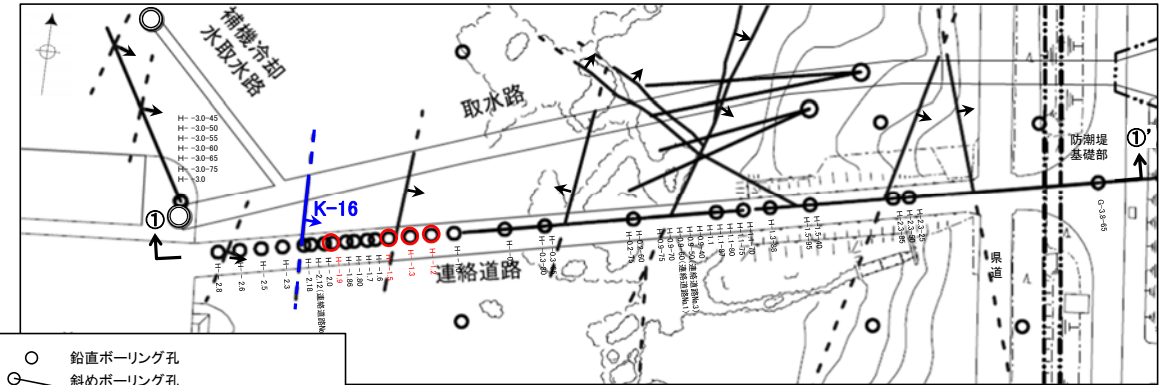
(2)-18 K-16の条線観察結果

K-16の条線観察結果

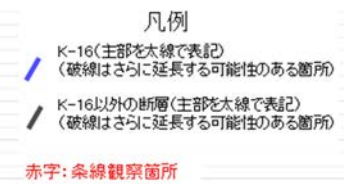
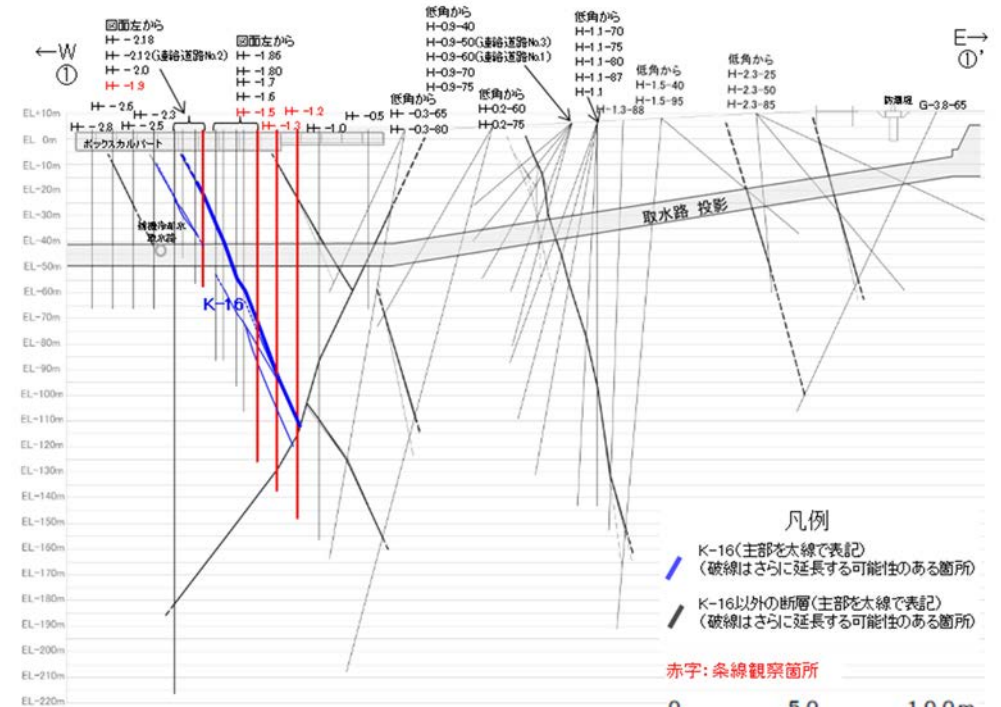
試料名	走向/傾斜 (走向は真北)	条線の レイク※1, 2	変位センス
ボーリングH-1.9孔 [深度25.04m]	上盤側	N18° W/68° NE	90° R (不明)
			65° R (不明)
ボーリングH-1.5孔 [深度74.35m]	上盤側	N25° W/64° NE	70° R (不明)
ボーリングH-1.3孔 [深度96.35m]	下盤側	N7° W/74° NE	80° R (不明)
			65° R (不明)
ボーリングH-1.2孔 [深度114.05m]	下盤側	N16° W/73° NE	115° R (不明)

※1 上盤側で確認したレイクは下盤側に換算して示す。

※2 新旧対比ができる条線は最新のレイクのみ示す。

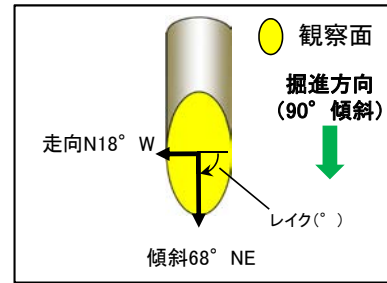


位置図



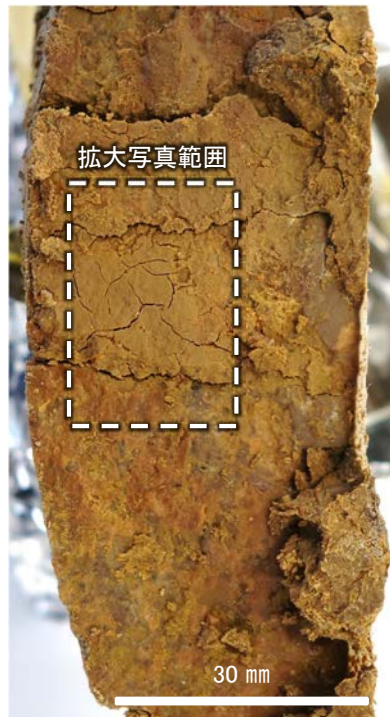
①-①' 断面図

条線観察結果 ボーリングH- -1.9孔[深度25.04m](上盤側)

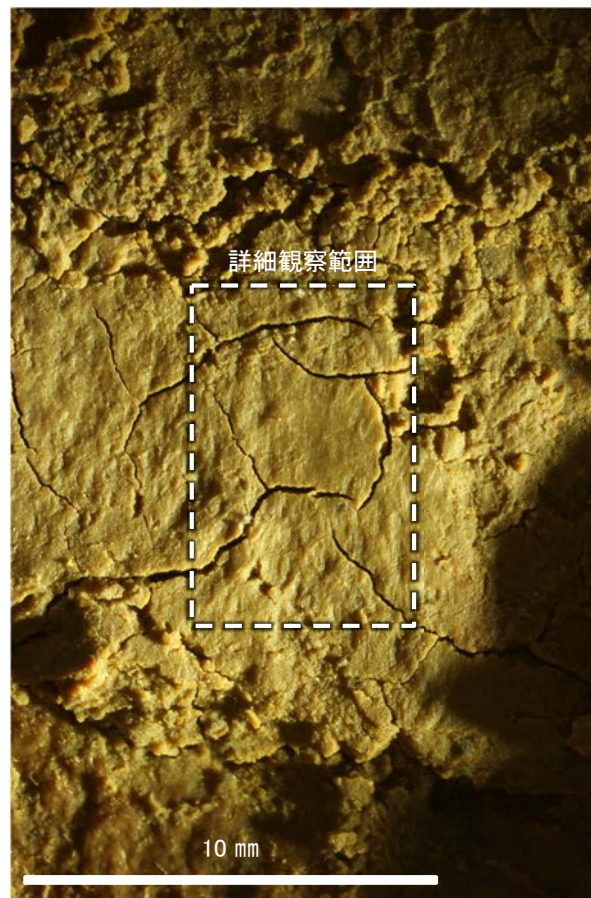


概念図

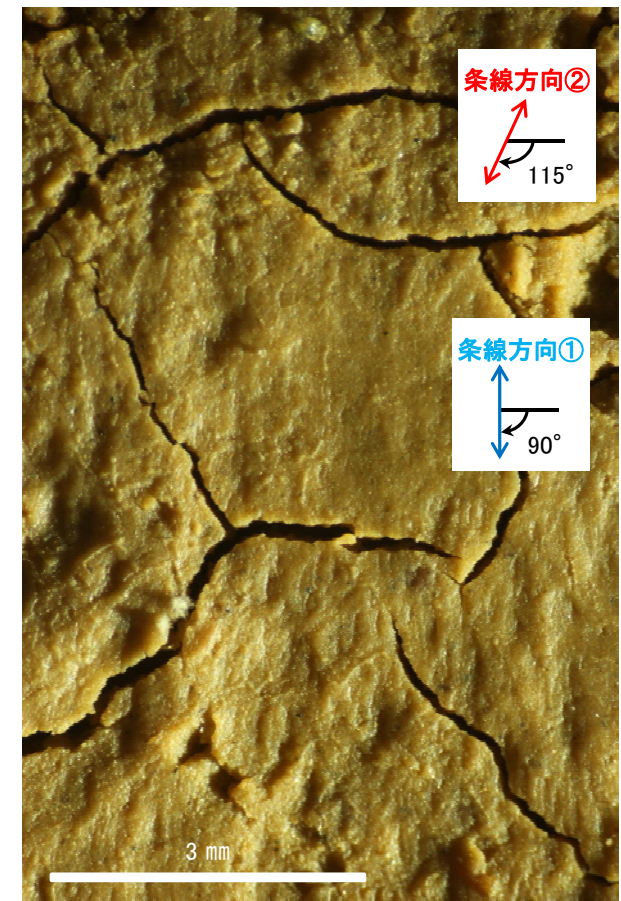
※走向は真北で示す。



観察面写真



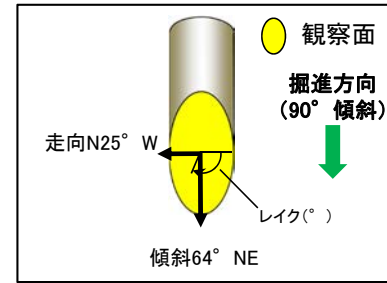
観察面拡大写真



詳細観察写真

- ・条線①のレイクは90° R(下盤側換算), 変位センスは不明
- ・条線②のレイクは65° R(下盤側換算), 変位センスは不明

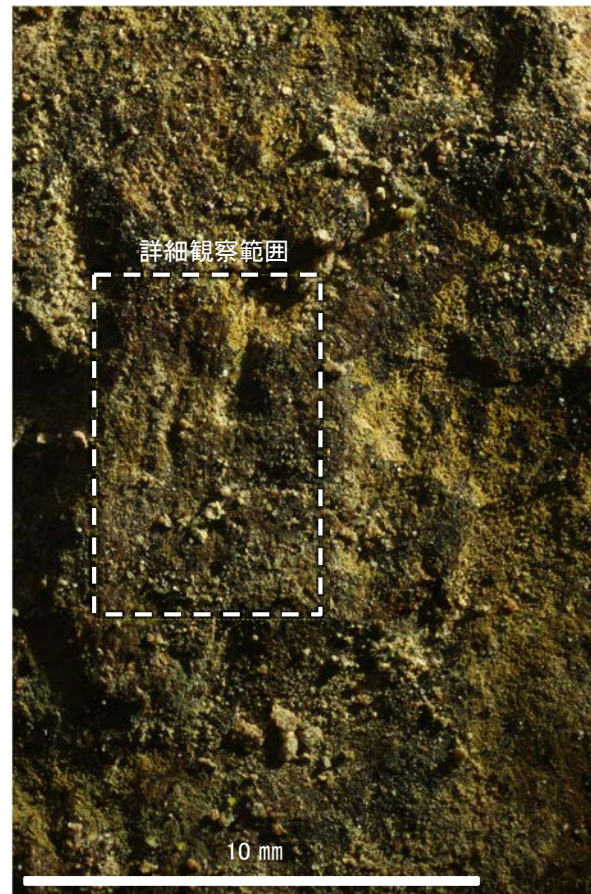
条線観察結果 ボーリングH- -1.5孔[深度74.35m](上盤側)



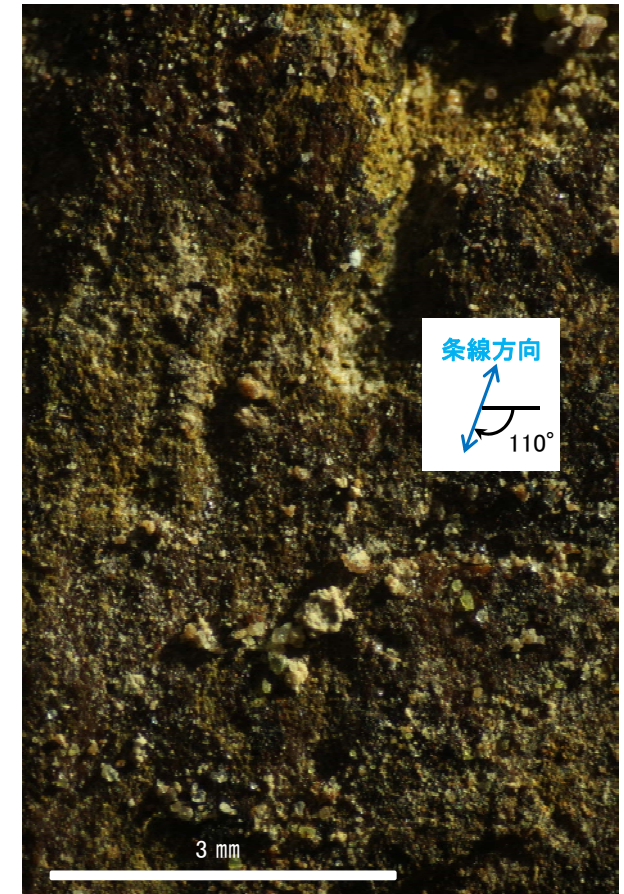
概念図
※走向は真北で示す。



観察面写真



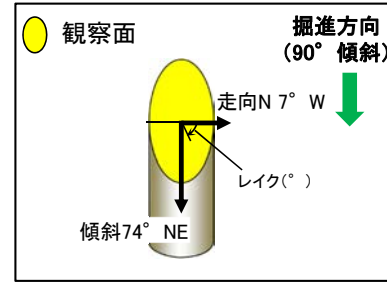
観察面拡大写真



詳細観察写真

・条線のレイクは70° R(下盤側換算), 変位センスは不明

条線観察結果 ボーリングH- -1.3孔[深度96.35m](下盤側)

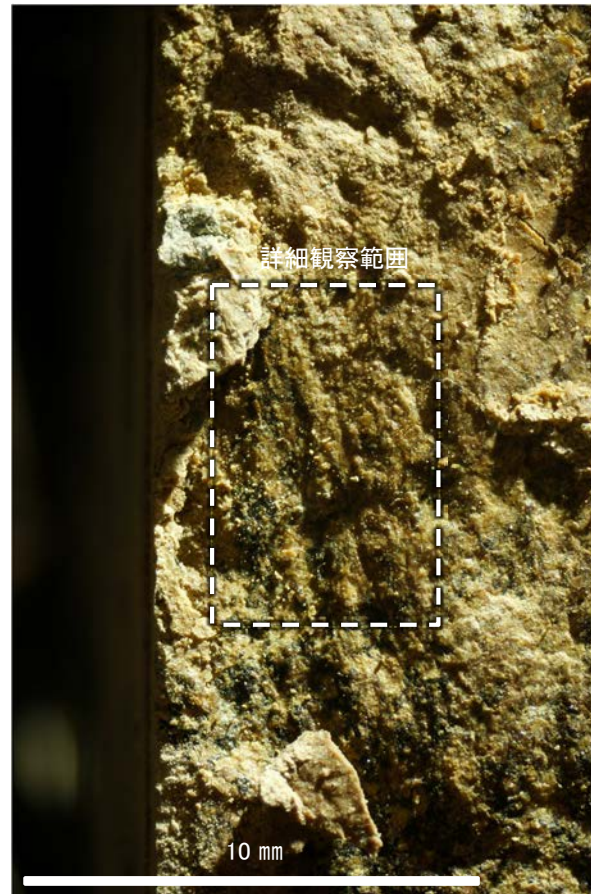


概念図

※走向は真北で示す。



観察面写真



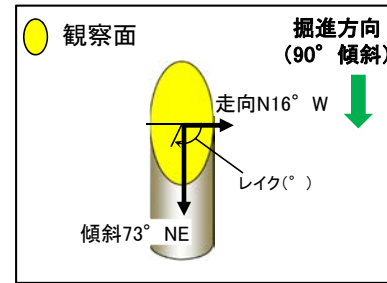
観察面拡大写真



詳細観察写真

- ・条線①のレイクは80° R, 変位センスは不明
- ・条線②のレイクは65° R, 変位センスは不明

条線観察結果 ボーリングH- -1.2孔[深度114.05m](下盤側)

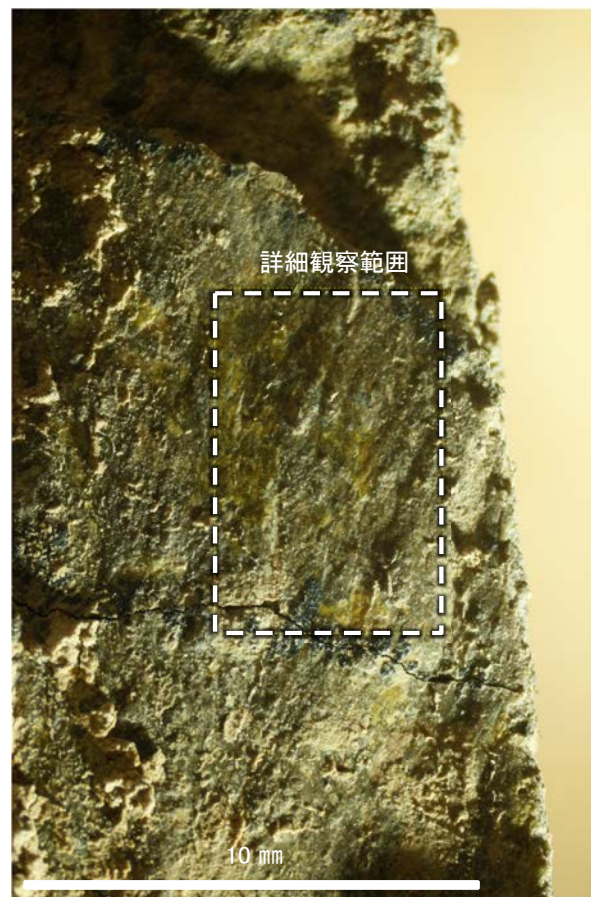


概念図

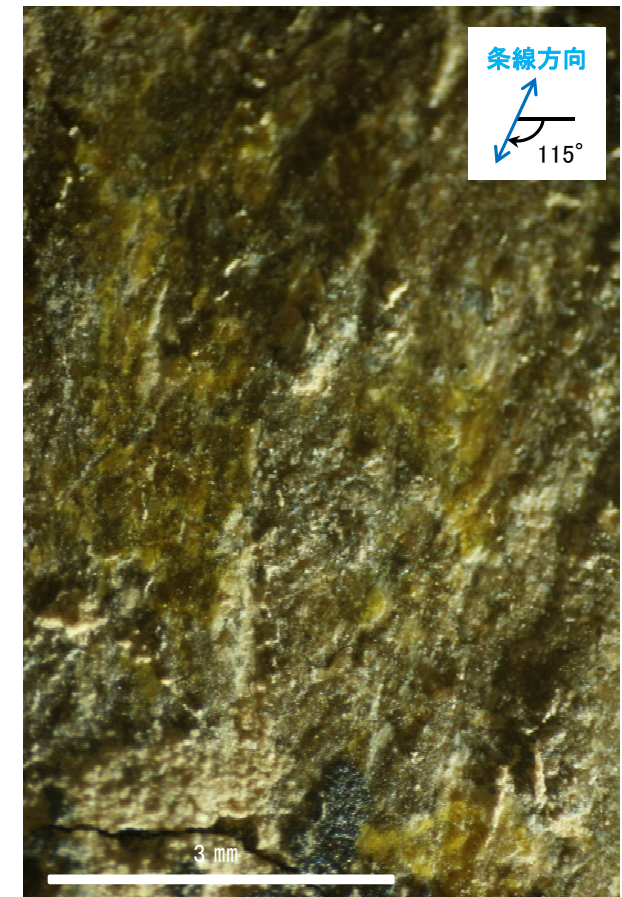
※走向は真北で示す。



観察面写真



観察面拡大写真



詳細観察写真

・条線のレイクは115° R, 変位センスは不明

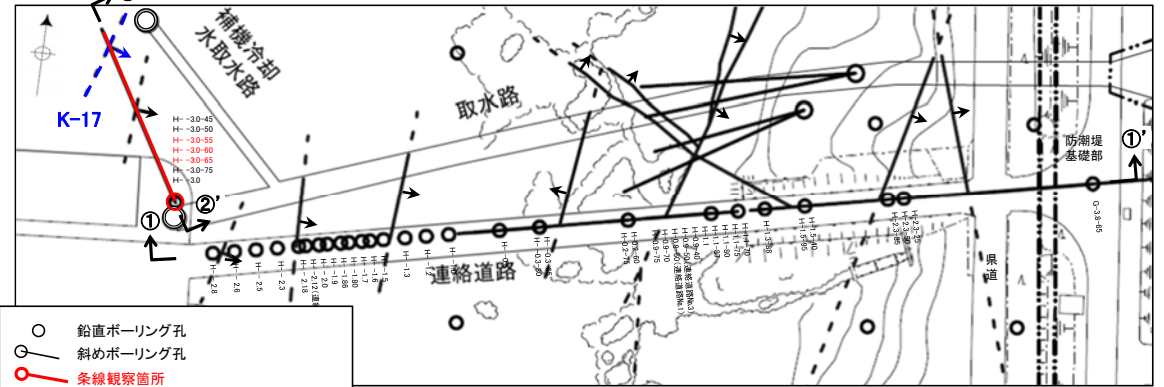
(2)-19 K-17の条線観察結果

K-17の条線観察結果

試料名		走向/傾斜 (走向は真北)	条線の レイク※1, 2	変位センス
H-3.0-55孔 [深度78.23m]	下盤側	N25° E/85° SE	127° R	(不明)
H-3.0-60孔 [深度86.07m]	上盤側	N21° E/81° SE	88° R	右横ずれ逆断層
			78° R	右横ずれ逆断層
H-3.0-65孔 [深度91.04m]	上盤側	N2° E/77° SE	87° R	(不明)
			122° R	(不明)

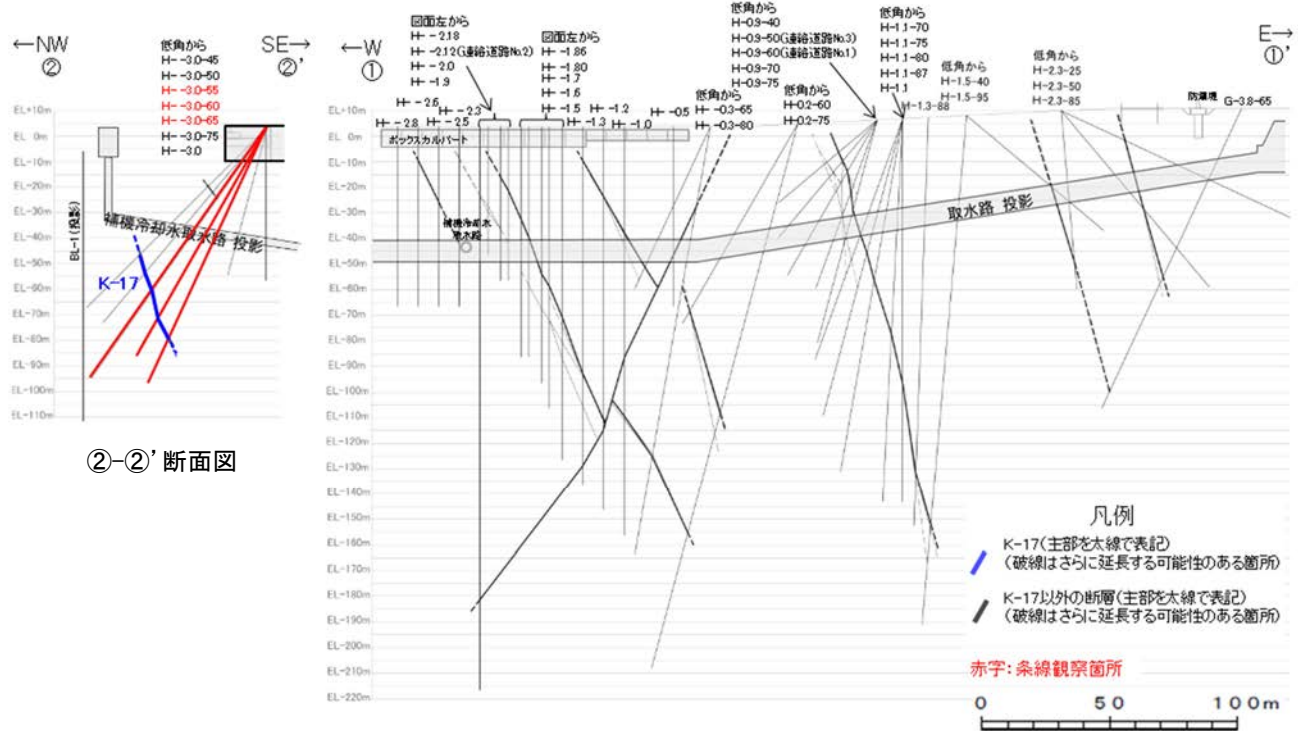
※1 上盤側で確認したレイクは下盤側に換算して示す。

※2 新旧対比ができる条線は最新のレイクのみ示す。



- 鉛直ボーリング孔
- 斜めボーリング孔
- 条線観察箇所
- 基礎掘削面
- K-17 (EL.0m)
(破線はさらに延長する可能性のある箇所)
- K-17以外の断層 (EL.0m)
(破線はさらに延長する可能性のある箇所)
(K-18, K-19については地表付近まで連続しないため記載していない)

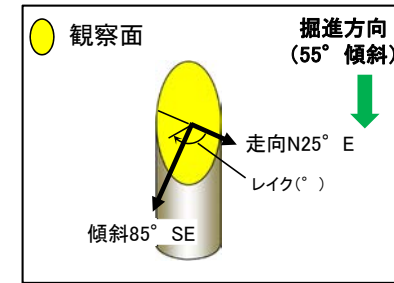
矢印(➡)の向きは断層の傾斜方向を示す



②-②' 断面図

①-①' 断面図

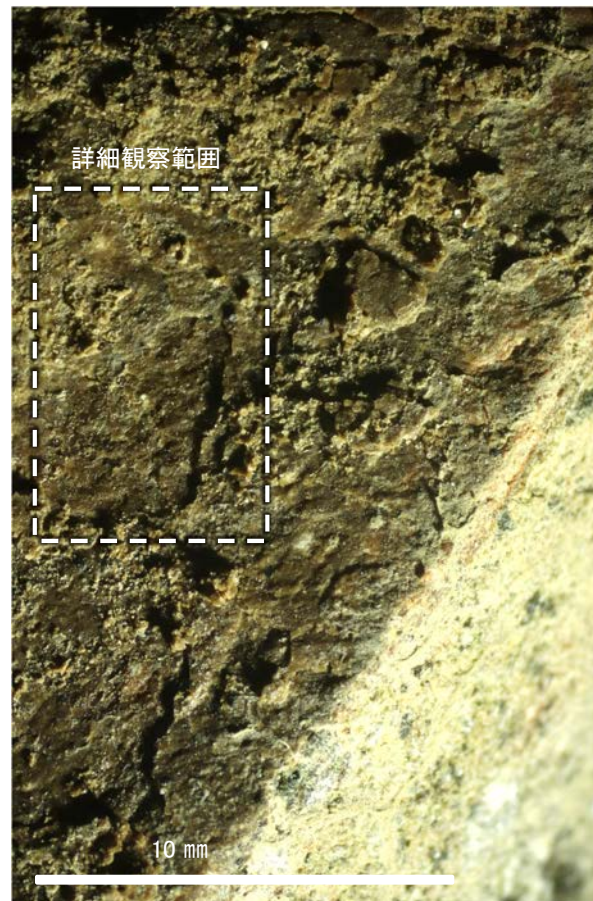
条線観察結果 ボーリングH- -3.0-55孔[深度78.23m](下盤側)



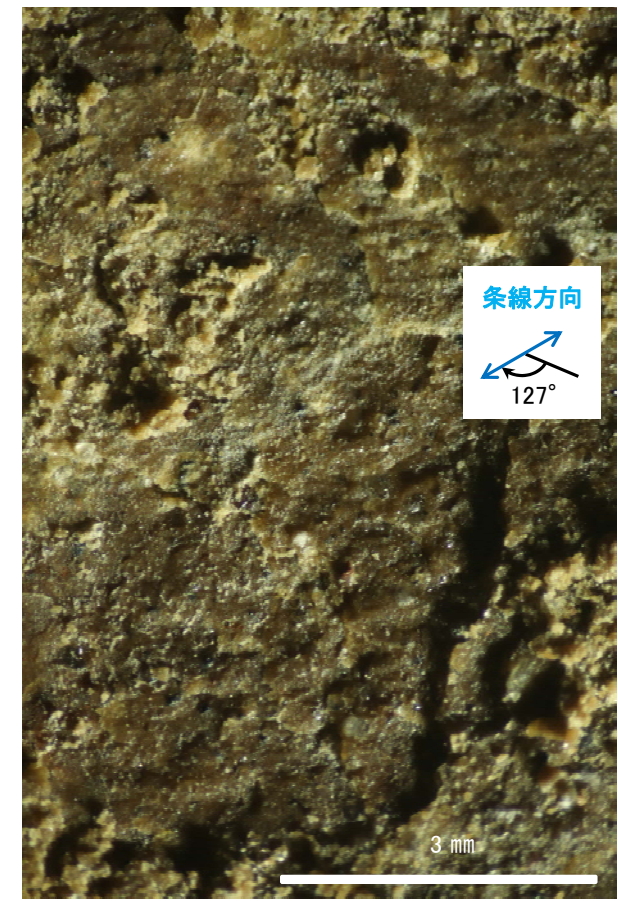
概念図
※走向は真北で示す。



観察面写真



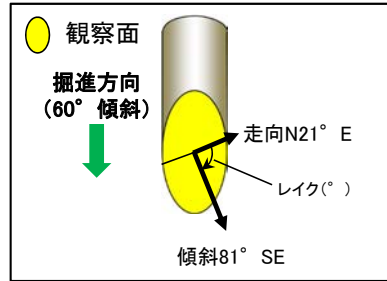
観察面拡大写真



詳細観察写真

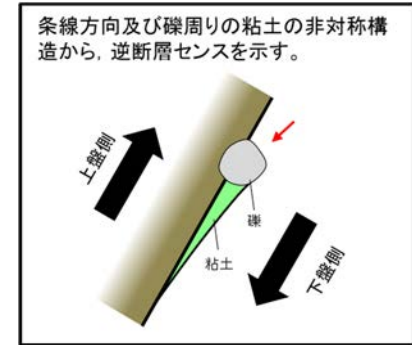
・条線①のレイクは127° R, 変位センスは不明

条線観察結果 ボーリングH- -3.0-60孔[深度86.07m](上盤側)

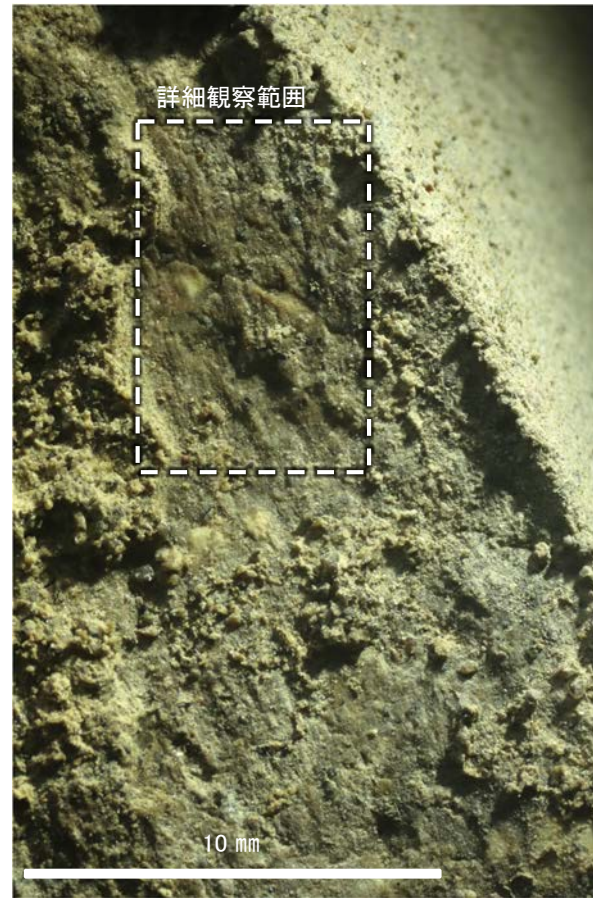


概念図

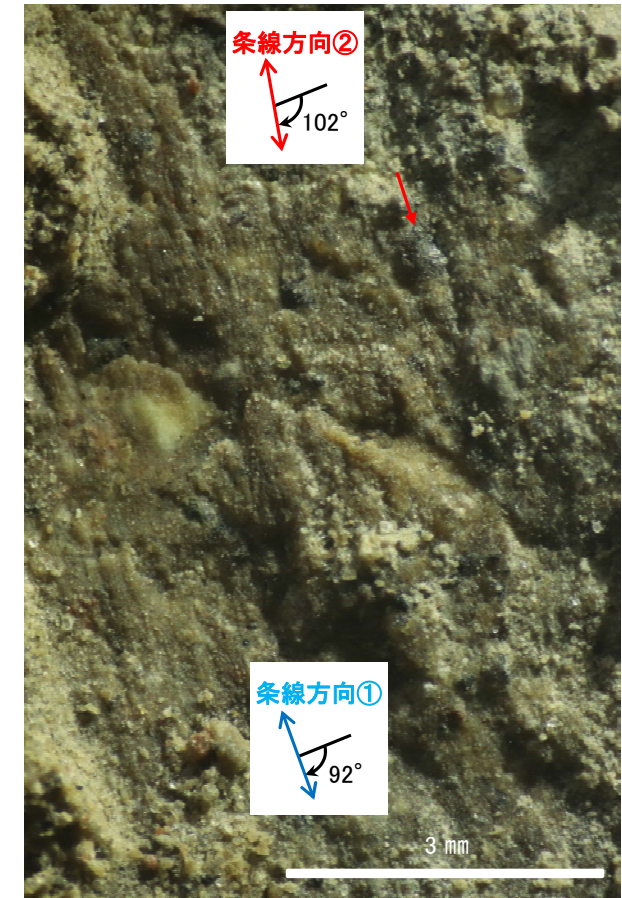
※走向は真北で示す。



観察面写真



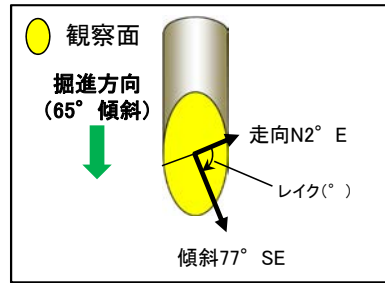
観察面拡大写真



詳細観察写真

- ・条線①のレイクは88° R(下盤側換算), 変位センスは右横ずれ逆断層
- ・条線②のレイクは78° R(下盤側換算), 変位センスは右横ずれ逆断層

条線観察結果 ボーリングH- -3.0-65孔[深度91.04m](上盤側)

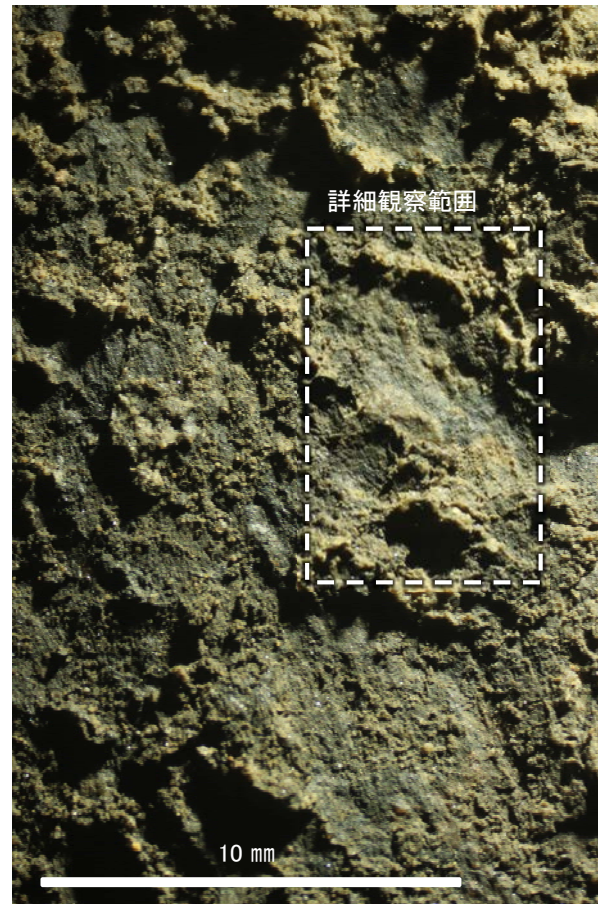


概念図

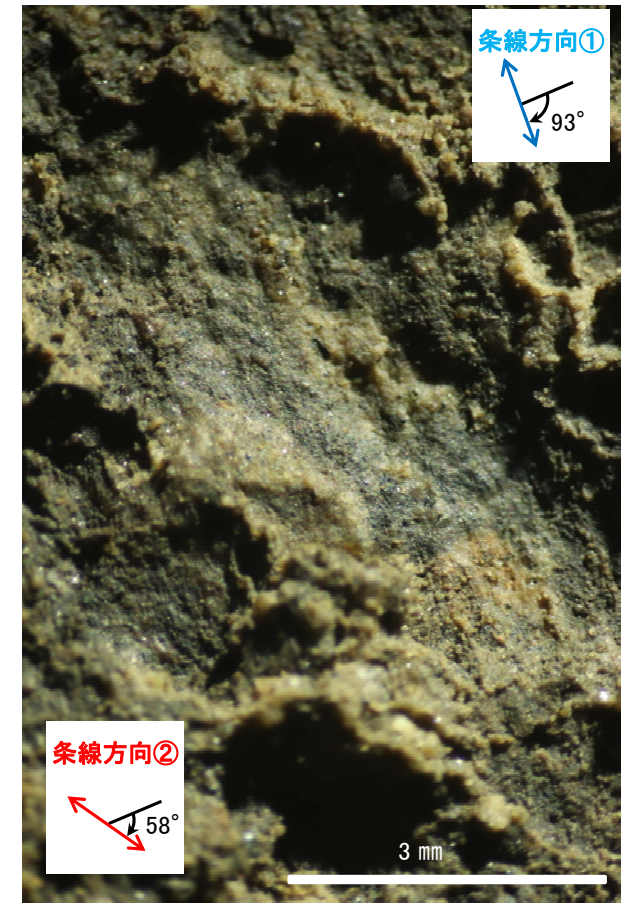
※走向は真北で示す。



観察面写真



観察面拡大写真

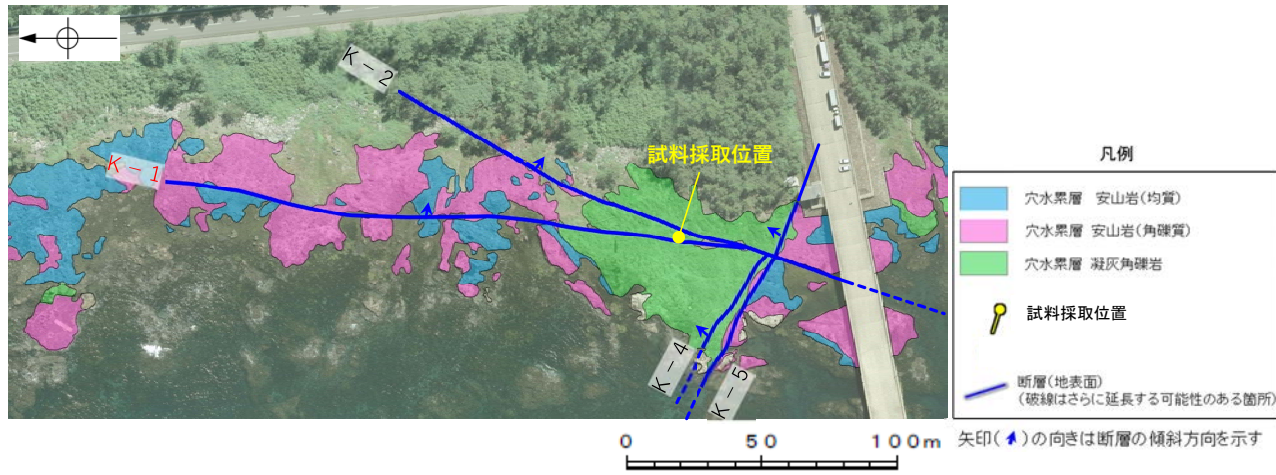


詳細観察写真

- ・条線①のレイクは87° R(下盤側換算), 変位センスは不明
- ・条線②のレイクは122° R(下盤側換算), 変位センスは不明

(3)-10 K-1の研磨片観察結果

K-1(研磨片観察)



調査位置図(海岸部露岩域)

←W 上 E→



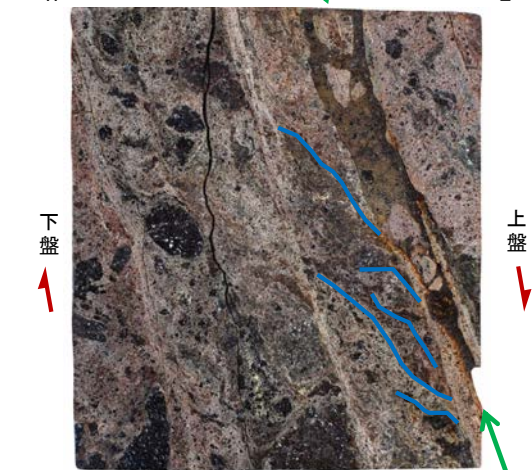
試料採取位置

10cm

下 0 50mm

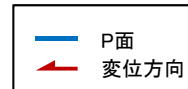
←W 上 E→

主せん断面



研磨片写真(下は変形構造を加筆)

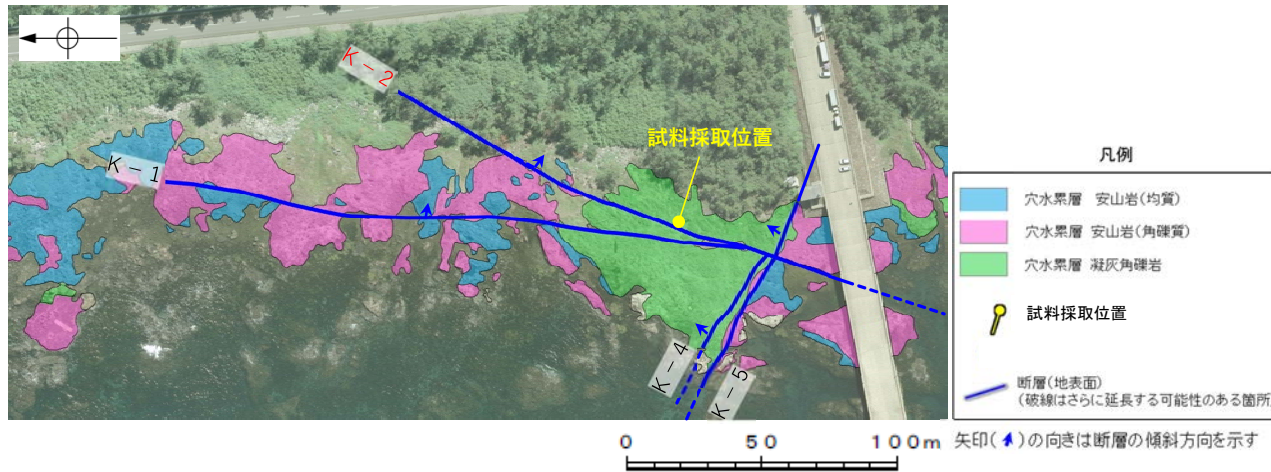
凡例



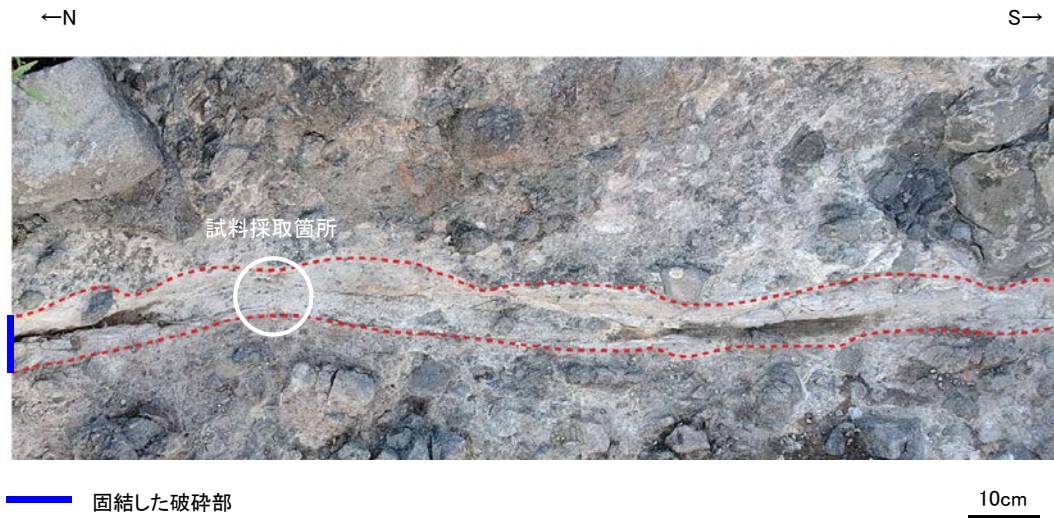
・固結した破砕部中の変形構造から、見かけ上盤側下がりの正断層センスが認定できる。

(3)-11 K-2の研磨片観察結果

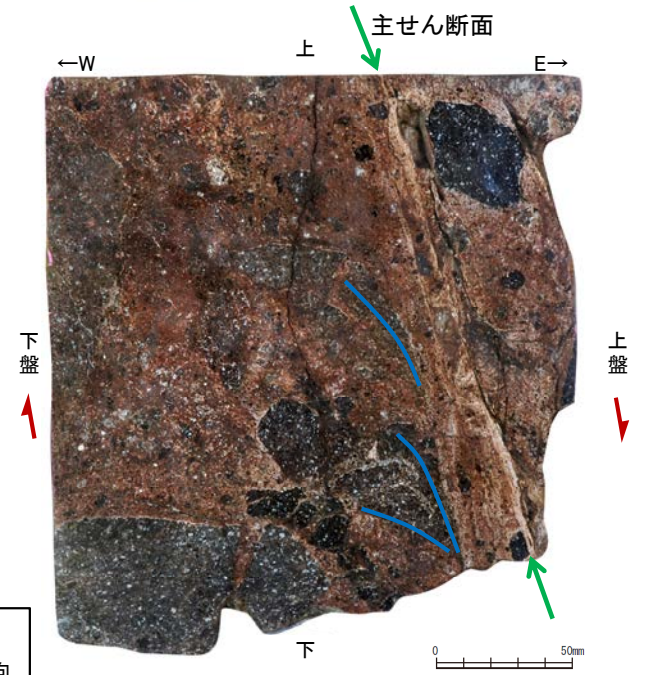
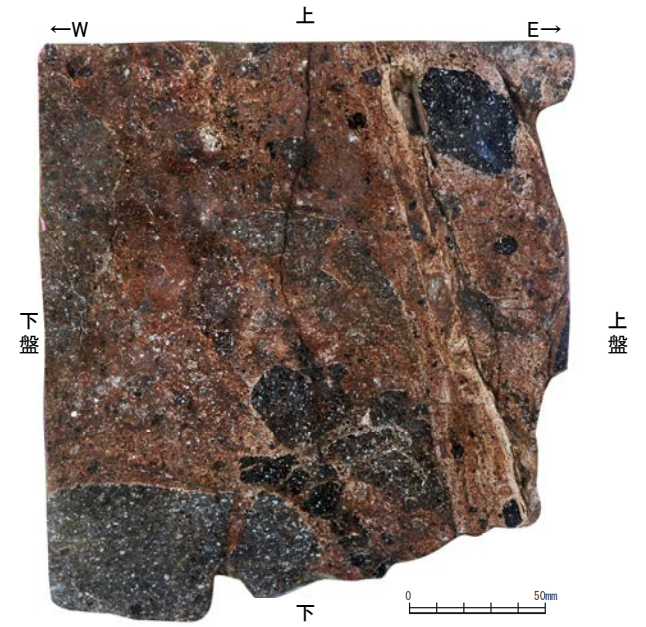
K-2(研磨片観察)



調査位置図(海岸部露岩域)



試料採取位置



研磨片写真(下は変形構造を加筆)

・固結した破碎部中の変形構造から、見かけ上盤側下がりの正断層センスが認定できる。

(3)-12 K-3の研磨片観察結果